



## 22. Il calcolo degli integrali, I

Si è visto che il calcolo degli *integrali doppi*, i.e., dell'integrale di funzioni integrabili di due variabili, si riduce al calcolo di due integrali successivi in una variabile e che il calcolo può farsi indifferentemente in due modi diversi tra loro equivalenti. Inoltre se è necessario, è possibile trasformare un integrale in un altro cambiando variabile. Per il calcolo di *integrali tripli*, i.e., di integrali di funzioni di tre variabili, vi sono dodici modi di applicare la formula di riduzione e tutti ugualmente percorribili, almeno a priori, ed, ad ogni passo intermedio, è sempre possibile cambiare variabili. Insomma tutte le strategie di calcolo che utilizzano in varie combinazioni il teorema di Fubini in una delle sue forme e il teorema di cambiamento di variabili, anche le più improbabili, portano al calcolo dell'integrale, se portate a termine.

Lo scopo degli esercizi è quindi quello di imparare a scegliere strategie ottimali per il calcolo degli integrali sulla base delle simmetrie esistenti e del dominio di integrazione e della funzione da integrare.

**22.1 Ordine di integrazione.** Come si è detto le formule di riduzione implicano l'irrelevanza dell'ordine di integrazione, cfr. il teorema di Tonelli, Teorema 20.3, ma richiedono la sommabilità della funzione in questione.

**22.2 Esercizio.** L'ipotesi di integrabilità nel teorema di Tonelli non può essere omessa. Mostrare che gli integrali iterati

$$\int_0^1 dy \int_1^\infty (e^{-xy} - 2e^{-2xy}) dx, \quad \int_1^\infty dx \int_0^1 (e^{-xy} - 2e^{-2xy}) dy$$

esistono entrambi come integrali iterati generalizzati e sono diversi.

Ripetiamo che l'integrabilità di  $f$  su  $E$  è ad esempio garantita se

- (i)  $f$  misurabile su  $E$  e di segno costante, ad esempio se  $E$  è misurabile,  $f$  è continua quasi ovunque su  $E$  e  $f$  non negativa,
- (ii)  $f$  misurabile su  $E$ ,  $|f|$  limitata e  $|E| < +\infty$ , ad esempio se  $f$  è continua su  $E$  compatto.

In altri casi è sufficiente la misurabilità di  $f$  e l'applicazione della formula di riduzione a  $|f|$  o a  $f_+$  e  $f_-$  (che sono non negative) per decidere della integrabilità di  $f$ .

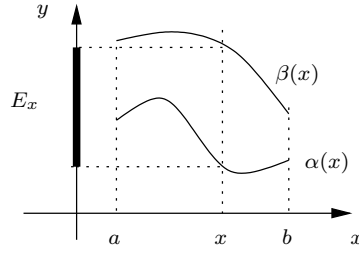


Figura 22.1. Un insieme normale in  $\mathbb{R}^2$ .

**22.a Insiemi normali**

**22.3 Insiemi normali in  $\mathbb{R}^2$ .** Un insieme  $E \subset \mathbb{R}^2$  si dice *normale rispetto all'asse y* se esistono  $A \subset \mathbb{R}$  e due funzioni  $\alpha, \beta : A \rightarrow \mathbb{R}$  con  $\alpha(x) < \beta(x)$  tali che

$$E := \{(x, y) \mid a < x < b, \alpha(x) < y < \beta(x)\}$$

cfr. Figura 22.1. Il pregio degli insiemi normali rispetto all'asse  $y$  è che la fetta  $E_x$  di  $E$  sopra  $x$  è un intervallo o l'insieme vuoto

$$E_x := \{y \in \mathbb{R} \mid \alpha(x) < y < \beta(x)\} = \begin{cases} ]\alpha(x), \beta(x)[ & \text{se } x \in A, \\ \emptyset & \text{altrimenti.} \end{cases}$$

Se ora  $\alpha, \beta : A \rightarrow \overline{\mathbb{R}}$  sono funzioni misurabili, si dimostra facilmente che  $E$  è misurabile in  $\mathbb{R}^2$ , e dunque, per ogni funzione  $f : E \rightarrow \overline{\mathbb{R}}$  integrabile su  $E$ , il teorema di Fubini dà

$$\iint_E f(x, y) \, dx \, dy = \int_{\mathbb{R}} \left( \int_{E_x} f(x, y) \, dy \right) dx = \int_A dx \int_{\alpha(x)}^{\beta(x)} f(x, y) \, dy.$$

**22.4 Insiemi normali in  $\mathbb{R}^n$ .** Analogamente in più dimensioni un insieme  $E$  si dice *normale* rispetto ad un asse coordinato, diciamo  $x_n$ , se esistono funzioni  $\alpha, \beta : A \subset \mathbb{R}^{n-1} \rightarrow \mathbb{R}$  tali che  $\alpha(x') < \beta(x') \forall x' \in A$  tali che

$$E := \left\{ x = (x', x_n) \in \mathbb{R}^{n-1} \times \mathbb{R} \mid x' \in A, \alpha(x') < x_n < \beta(x') \right\}.$$

La fetta di  $E$  sopra  $x' \in \mathbb{R}^{n-1}$  è un intervallo o l'insieme vuoto

$$E_{x'} := \{t \in \mathbb{R} \mid \alpha(x') < t < \beta(x')\} = \begin{cases} ]\alpha(x'), \beta(x')[ & \text{se } x' \in A \\ \emptyset & \text{altrimenti.} \end{cases}$$

Se  $\alpha, \beta : A \rightarrow \mathbb{R}$  sono misurabili su  $A$  (ad esempio continue quasi ovunque su  $A$  con  $A$  aperto o chiuso), allora  $E$  è misurabile in  $\mathbb{R}^n$ . Se ora  $f$  è una funzione integrabile su  $E$ , il teorema di Fubini dà

$$\int_E f(x) \, dx = \int_{\mathbb{R}^{n-1}} dx' \left( \int_{E_{x'}} f(x', t) \, dt \right) = \int_A dx' \int_{\alpha(x')}^{\beta(x')} f(x', t) \, dt.$$

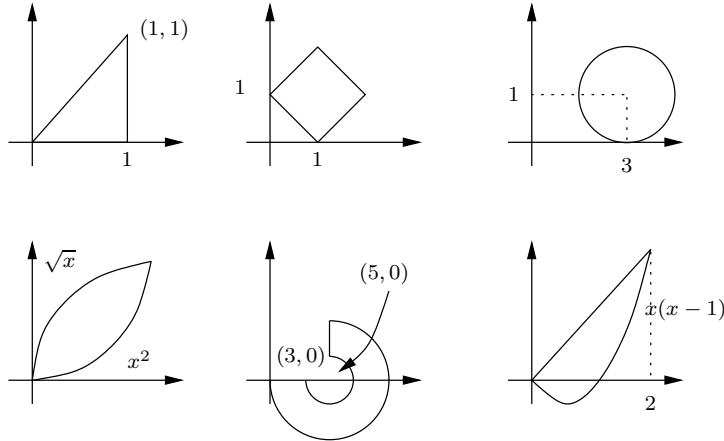


Figura 22.2. Alcuni insiemi normali o unione di insiemi normali in  $\mathbb{R}^2$ .

**22.5 Esercizio.** Calcolare  $\int_T x^2 dx dy$  dove  $T$  è il triangolo in  $\mathbb{R}^2$  di vertici  $(0, 0)$ ,  $(0, 2)$ ,  $(1, 0)$ .  
 La funzione da integrare è continua e non negativa e il dominio di integrazione  $T$  è compatto, in particolare  $x^2$  è integrabile su  $T \subset \mathbb{R}^2$ . Si può quindi utilizzare le formule di riduzione. Il dominio  $T$  è sia normale rispetto all'asse  $x$  che rispetto all'asse  $y$  perché

$$T = \{0 \leq x \leq 1, 0 \leq y \leq -2x + 2\} = \{0 \leq y \leq 1, 0 \leq x \leq -y/2 + 1\}.$$

Poiché la funzione da integrare dipende dalla sola variabile  $x$ , sembra conveniente integrare per ultimo nella variabile  $x$ . Decidiamo dunque di considerare  $T$  normale rispetto a  $x$  e quindi di procedere con

$$\iint_T x^2 dx dy = \int_0^1 dx \int_0^{-2x+2} x^2 dy = \int_0^1 x^2(-2x+2) dx = \frac{1}{6}.$$

**22.6 Esercizio.** Calcolare l'integrale della funzione  $f(x, y) = x^2$  su ciascuno dei domini  $E \subset \mathbb{R}^2$  in Figura 22.2.

**22.b Solidi di rotazione**

**22.7 Solidi di rotazione.** Sia  $f : ]a, b[ \subset \mathbb{R} \rightarrow \mathbb{R}_+$  una funzione non negativa misurabile (ad esempio continua). Facendo ruotare in  $\mathbb{R}^3$  il grafico di  $x = f(z)$  attorno all'asse delle  $z$ , si ottiene un volume  $E$  dato da

$$E := \left\{ (x, y, z) \mid x^2 + y^2 < f^2(z) \right\}.$$

La sezione di  $E$  con il piano perpendicolare all'asse  $z$  per  $z$  è

$$E_z := \begin{cases} \{(x, y) \in \mathbb{R}^2 \mid x^2 + y^2 < f^2(z)\} & \text{se } a < z < b, \\ \emptyset & \text{altrimenti,} \end{cases}$$

i.e.,  $E_z$  è un cerchio del piano  $(x, y)$  di raggio  $f(z)$  se  $z \in ]a, b[$  e l'insieme vuoto altrimenti.

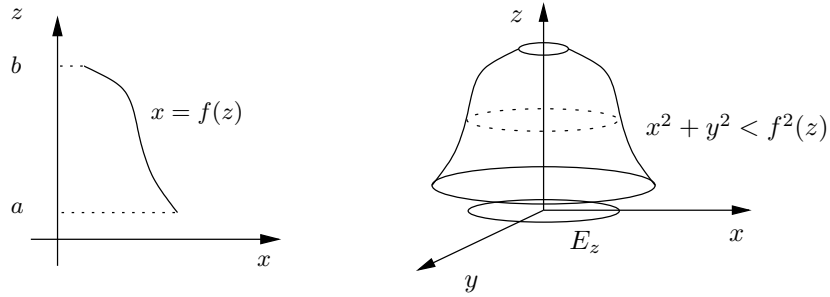


Figura 22.3. Solido di rotazione ed  $E_z$ .

Se  $f : ]a, b[ \rightarrow \overline{\mathbb{R}}_+$  è una funzione misurabile, la funzione  $x^2 + y^2 - f^2(z)$  è misurabile in  $\mathbb{R}^3$ , e quindi  $E$  è un insieme misurabile in  $\mathbb{R}^3$ . Quindi, per ogni  $g$  integrabile su  $E$ , il teorema di Fubini dà

$$\int_E g(x, y, z) dx dy dz = \int_a^b dz \iint_{E_z} g(x, y, z) dx dy. \quad (22.1)$$

Se ad esempio  $g = 1$  si ottiene

$$\mathcal{L}^3(E) = \int_E 1 dx dy dz = \int_{-\infty}^{+\infty} \mathcal{L}^2(E_z) dz = \int_a^b \pi f^2(z) dz = \pi \int_a^b f^2(z) dz.$$

La (22.1) è conveniente in particolare quando  $g$  è funzione solo di  $z$ ,  $g(x, y, z) := g(z)$ , perché

$$\int_E g(z) dx dy dz = \int_a^b g(z) \iint_{E_z} 1 dx dy = \int_a^b g(z) \mathcal{L}^2(E_z) dz = \pi \int_a^b g(z) f^2(z) dz.$$

### 22.c Cambiamenti di coordinate

**22.8 Coordinate polari in  $\mathbb{R}^2$ .** L'applicazione  $\varphi(\rho, \theta) := (\rho \cos \theta, \rho \sin \theta)$  è  $C^1(\mathbb{R}^2)$  è iniettiva su  $A := ]0, +\infty[ \times ]0, 2\pi[$  con  $|\det \mathbf{D}\varphi(\rho, \theta)| = \rho$ . Dunque per ogni  $E \subset ]0, +\infty[ \times ]0, 2\pi[$  misurabile e per ogni  $f$  integrabile su  $\varphi(E)$ ,

$$\int_{\varphi(E)} f(x, y) dx dy = \int_E f(\rho \cos \theta, \rho \sin \theta) \rho d\rho d\theta.$$

Essendo la mappa delle coordinate polari iniettiva su ogni intervallo  $]0, +\infty[ \times ]a, a + 2\pi[$ , si ha la stessa conclusione per ogni misurabile  $E \subset ]0, \infty[ \times ]a, a + 2\pi[$ .

**22.9 Coordinate polari in  $\mathbb{R}^3$ .** L'applicazione  $\phi : \mathbb{R}^3 \rightarrow \mathbb{R}^3$  data da

$$\phi(\rho, \theta, \varphi) := \begin{cases} x = \rho \sin \varphi \cos \theta, \\ y = \rho \sin \varphi \sin \theta, \\ z = \rho \cos \varphi \end{cases}$$

è  $C^1(\mathbb{R}^3)$  e iniettiva su  $A := ]0, +\infty[ \times ]0, 2\pi[ \times ]0, \pi[$  con  $|\det \mathbf{D}\phi(\rho, \theta, \varphi)| = \rho^2 \sin \theta$ . Dunque per ogni  $E \subset ]0, +\infty[ \times ]0, 2\pi[ \times ]0, \pi[$  misurabile e per ogni  $f$  integrabile su  $\varphi(E)$  si ha

$$\int_{\varphi(E)} f(x, y) dx dy dz = \int_E f(\rho \sin \theta \cos \varphi, \rho \sin \theta \sin \varphi, \rho \cos \theta) \rho^2 \sin \theta d\rho d\theta d\varphi.$$

**22.10 Coordinate cilindriche in  $\mathbb{R}^3$ .** L'applicazione  $\phi : \mathbb{R}^3 \rightarrow \mathbb{R}^3$  data da

$$\begin{cases} x = \rho \cos \theta, \\ y = \rho \sin \theta, \\ z = z \end{cases}$$

è  $C^1(\mathbb{R}^3)$  e iniettiva su  $A := ]0, +\infty[ \times ]a, a + 2\pi[ \times \mathbb{R}$  con  $|\det \mathbf{D}\phi(\rho, \theta, z)| = \rho$ . Dunque per ogni  $E \subset ]0, +\infty[ \times ]0, 2\pi[ \times \mathbb{R}$  misurabile e ogni  $f$  integrabile su  $\varphi(E)$  si ha

$$\int_{\varphi(E)} f(x, y, z) dx dy dz = \int_E f(\rho \cos \theta, \rho \sin \theta, z) \rho d\rho d\theta dz.$$

**22.11 Esercizio.** Calcolare  $\iint_E \sqrt{x^2 + y^2} dx dy$  essendo  $E \subset \mathbb{R}^2$  il cerchio di centro  $(1, 0)$  e raggio 1.  $E$  è compatto e quindi  $\sqrt{x^2 + y^2}$  è sommabile su  $E$ . Si possono perciò usare liberamente i teoremi di cambiamento di variabili e il teorema di Fubini.

Il cerchio  $E$  ha equazione  $(x-1)^2 + y^2 \leq 1$  i.e.,  $x^2 + y^2 - 2x \leq 0$ . Se lo si scrive in coordinate polari, si ottiene

$$\rho \geq 0, \quad \theta \in [-\pi, \pi], \quad \rho^2 - 2\rho \cos \theta \leq 0,$$

e dunque

$$\rho \geq 0, \quad \theta \in [-\pi/2, \pi/2], \quad \rho \leq 2 \cos \theta.$$

Se  $\varphi$  è la mappa delle coordinate polari e

$$F := \{(\rho, \theta) \mid -\pi/2 \leq \theta \leq \pi/2, 0 \leq \rho \leq 2 \cos \theta\},$$

$F$  è contenuto in una striscia di periodicità di  $\varphi$  e  $E = \varphi(F)$ . Perciò cambiando variabili e tenendo conto che  $F$  è normale rispetto a  $\rho$ ,

$$\iint_E \sqrt{x^2 + y^2} dx dy = \iint_F \rho^2 d\rho d\theta = \int_{-\pi/2}^{\pi/2} d\theta \int_0^{2 \cos \theta} \rho^2 d\rho = \frac{8}{3} \int_{-\pi/2}^{\pi/2} \cos^3 \theta d\theta = \frac{32}{9}.$$

**22.12 Esercizio (Solidi di rotazione).** Trovare una formula per il volume dei solidi di rotazione in  $\mathbb{R}^3$ .

*Soluzione.* Sia  $f : [a, b] \rightarrow \mathbb{R}_+$  misurabile e sia  $E$  l'insieme ottenuto facendo ruotare il sottografico di  $y = f(z)$  del piano  $(y, z)$  attorno all'asse  $z$ ,

$$E := \{(x, y, z) \mid a \leq z \leq b, x^2 + y^2 \leq f^2(z)\}.$$

Si può parametrizzare  $E$  con le coordinate cilindriche

$$\phi(r, \theta, z) := \begin{cases} x = r \cos \theta, \\ y = r \sin \theta, \\ z = z \end{cases}$$

come immagine uno a uno dell'insieme

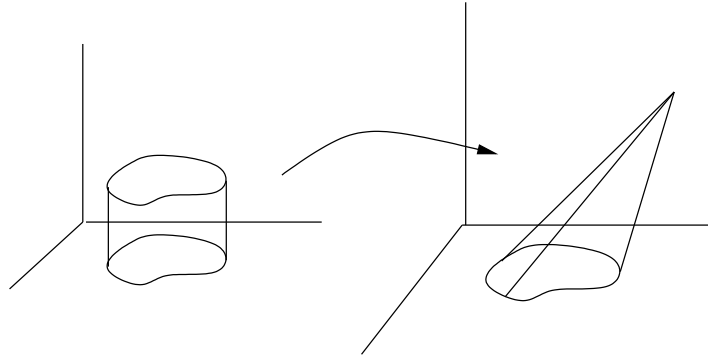


Figura 22.4. Coordinate coniche.

$$F := \left\{ (\rho, \theta, z) \mid 0 \leq \theta < 2\pi, a \leq z \leq b, 0 \leq \rho \leq f(z) \right\}$$

e quindi cambiando variabili

$$\mathcal{L}^3(E) = \int_F |\det \mathbf{D}\phi| \, d\rho d\theta dz = \int_a^b dz \int_0^{2\pi} d\theta \int_0^{f(z)} \rho \, d\rho = \pi \int_a^b f^2(z) \, dz.$$

**22.13 Esercizio (Formula di Guldino).** Ritrovare la formula di Guldino.

*Soluzione.* Siano  $f, g : [a, b] \rightarrow \mathbb{R}_+$  misurabili con  $g \leq f$ . L'insieme

$$E := \left\{ (x, y, z) \mid z \in [a, b], g(z) \leq \sqrt{x^2 + y^2} \leq f(z) \right\},$$

ottenuto facendo ruotare

$$A := \left\{ (x, y, z) \mid x = 0, z \in [a, b], f(z) \leq y \leq g(z) \right\}$$

attorno all'asse  $z$ , ha volume

$$\mathcal{L}^3(E) = \pi \int_a^b (g^2(z) - f^2(z)) \, dz.$$

Il baricentro di  $A$  rispetto all'asse di rotazione  $z$  è il punto  $(\bar{y}, \bar{z})$  definito da

$$\bar{y} := \frac{1}{\mathcal{L}^2(A)} \int_A y \, dy dz, \quad \bar{z} := \frac{1}{\mathcal{L}^2(A)} \int_A z \, dy dz.$$

Si ha allora la *formula di Guldino* per il calcolo dei volumi dei solidi di rotazione: *il volume del solido di rotazione  $E$  è pari al prodotto dell'area della sua sezione  $A$  per la lunghezza del cerchio di rivoluzione del baricentro della sezione:*

$$\mathcal{L}^3(E) = \mathcal{L}^2(A) 2\pi \bar{y}.$$

Infatti

$$2\pi \bar{y} \mathcal{L}^2(A) = 2\pi \int_A y \, dy dz = \int_a^b dz \int_{f(z)}^{g(z)} y \, dy = \pi \int_a^b (g^2(z) - f^2(z)) \, dz = \mathcal{L}^3(E).$$

**22.14 Coordinate coniche in  $\mathbb{R}^3$ .** Sia  $A$  un aperto in  $\mathbb{R}^2 = \{(x, y, z) \mid z = 0\} \subset \mathbb{R}^3$  e  $P_0 = (x_0, y_0, z_0)$ . Un punto è per definizione nel cono  $C(A)$  di vertice  $P_0$  e base  $A$  se esiste  $(\alpha, \beta, 0) \in A$  e  $t \in [0, 1]$  tale che

$$\begin{pmatrix} x \\ y \\ z \end{pmatrix} = (1-t) \begin{pmatrix} \alpha \\ \beta \\ 0 \end{pmatrix} + t \begin{pmatrix} x_0 \\ y_0 \\ z_0 \end{pmatrix}.$$

La funzione  $\phi(\alpha, \beta, t) : \mathbb{R}^3 \rightarrow \mathbb{R}^3$  data da

$$\begin{cases} x = (1-t)\alpha + tx_0, \\ y = (1-t)\beta + ty_0, \\ z = tz_0 \end{cases}$$

è una mappa di classe  $C^1(\mathbb{R}^3)$  bigettiva da  $A \times [0, 1[$  su  $C(A) \setminus \{P_0\}$  con

$$|\det \mathbf{D}\phi(\alpha, \beta, t)| = (1-t)^2.$$

Perciò

$$\begin{aligned} \int_{C(A)} f(x, y, z) dx dy dz &= \int_{A \times [0, 1[} f(\phi(\alpha, \beta, t))(1-t)^2 d\alpha d\beta dt \\ &= \int_0^1 (1-t^2) \left( \int_A f(\phi(\alpha, \beta, t)) d\alpha d\beta \right) dt. \end{aligned}$$

**22.15 Esercizio.** Si voglia calcolare la misura di

$$E := \left\{ (x, y) \in \mathbb{R}^2 \mid 0 < x < y < 2x, 1 < xy < 2 \right\}.$$

Posto  $u = xy$ , e  $v = y/x$  si ha

$$E = \varphi(F)$$

dove  $\varphi(u, v) := (\sqrt{u/v}, \sqrt{uv})$  e

$$F := \left\{ (u, v) \in \mathbb{R}^2 \mid 1 < u < 2, 1 < v < 2 \right\}.$$

Essendo  $\det \mathbf{D}\varphi = \frac{1}{2v} > 0$  su  $F$ , troviamo

$$|E| = |\varphi(F)| = \int_F \frac{1}{2v} du dv = \frac{1}{2} \int_1^2 du \int_1^2 \frac{dv}{v} = \frac{1}{2} \log 2.$$

## 22.d Tetraedri

**22.16 Esercizio (Tetraedri, I).** Si consideri il tetraedro  $T \subset \mathbb{R}^3$  di vertici  $(0, 0, 0)$ ,  $(1, 0, 0)$ ,  $(0, 1, 0)$ ,  $(0, 2, 2)$ , cfr. Figura 22.5. Si calcoli

$$\int_T \frac{z}{1+z} dz.$$

Una faccia del tetraedro è sul piano  $z = 0$ . Se si affetta un tetraedro con piani paralleli ad una base si ottengono sezioni congruenti con la base. Perciò sembra essere conveniente affettare con piani perpendicolari all'asse  $z$ . Inoltre la funzione da integrare dipende solo su  $z$ . Decidiamo quindi di affettare il tetraedro con piani perpendicolari all'asse  $z$ .

Se  $T_z$  è la fetta a livello  $z$  perpendicolare all'asse delle  $z$ ,  $T_z \neq \emptyset$  se e solo se  $0 \leq z \leq 2$  e vuota altrimenti. Essendo  $T$  misurabile, e  $z/(1+z)$  continua in  $\overline{T}$ , dal teorema di Fubini segue

$$\int_T \frac{z}{1+z} dz = \int_0^2 \frac{z}{1+z} \mathcal{L}^2(T_z) dz.$$

Calcoliamo ora l'area di  $T_z$ . Dal teorema di Talete  $\mathcal{L}^2(T_z) = \mathcal{L}^2(T_0) \left(\frac{2-z}{2}\right)^2$  e quindi

$$\int_T \frac{z}{1+z} dz = \frac{1}{8} \int_0^2 \frac{z(2-z)^2}{1+z} dz = \dots$$



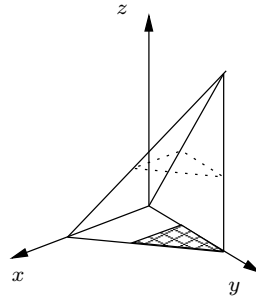


Figura 22.5.

**22.17 Esercizio (Tetraedri, II).** Si consideri il tetraedro  $T \subset \mathbb{R}^3$  di vertici  $(0, 0, 0)$ ,  $(1, 0, 0)$ ,  $(0, 1, 0)$ ,  $(0, 2, 2)$ , cfr. Figura 22.5. Si calcoli

$$\int_T \frac{xz}{1+z} dz.$$

La funzione integranda è continua e  $T$  è compatto. Dunque la funzione integranda è integrabile su  $T$ .

Una faccia del tetraedro è sul piano  $z = 0$ . Se si affetta con piani perpendicolari all'asse  $z$ , si ottengono sezioni congruenti con la base. Inoltre gran parte della funzione integranda dipende da  $z$ . Sembra quindi conveniente integrare per ultimo nella variabile  $z$ . Procedendo in questo modo e indicata con  $T_z$  la fetta del tetraedro ad altezza  $z$ , il teorema di Fubini dà

$$\int_T \frac{xz}{1+z} dz = \int_0^2 \frac{z}{1+z} \iint_{T_z} x dx dy.$$

Resta ora da calcolare per  $z$  fissato l'integrale doppio  $\iint_{T_z} x dx dy$ . Il dominio di integrazione  $T_z$  è un triangolo in  $\mathbb{R}^2$ , essendo congruente con la base del tetraedro. Basterà allora calcolare le coordinate dei vertici. Siano dunque  $P(z)$ ,  $Q(z)$ ,  $R(z)$  rispettivamente i vertici di  $T_z$  proiezioni sul piano di base delle intersezioni del piano perpendicolare all'asse delle  $z$  per  $z$  rispettivamente con le rette per  $(0, 2, 2)$  e  $(0, 0, 0)$ , per  $(0, 2, 2)$  e  $(1, 0, 0)$  e per  $(0, 2, 2)$  e  $(0, 1, 0)$ . Per il teorema di Talete le coordinate  $x(z)$ ,  $y(z)$ , di  $P(z)$  dipendono linearmente da  $z$ , i.e.,

$$\begin{cases} x(z) = mz + q, & y(z) = mz + q, \\ x(0) = 0, x(2) = 0, & y(0) = 0, y(2) = 2, \end{cases}$$

da cui  $P(z) = (0, z)$ . Analogamente si calcolano  $Q(z) = (1 - z/2, z)$  e  $R(z) = (0, 1 + z/2)$ . Come si vede i punti  $P(z)$  e  $R(z)$  hanno la stessa ascissa. Il triangolo  $T_z$  è allora normale rispetto all'asse  $x$ . Se si calcolano le rette per  $P(z)$  e  $Q(z)$  e  $Q(z)$  e  $R(z)$  si trova rispettivamente

$$\alpha_z(x) = z, \quad \beta_z(x) = -(x + z/2 - 1) + z = 1 + z/2 - x$$

e quindi

$$T_z := \{(x, y) \in \mathbb{R}^2 \mid 0 \leq x \leq 1 - z/2, \alpha_z(x) \leq y \leq \beta_z(x)\}$$

$$\int_{T_z} x dx dy = \int_0^{1-z/2} x dx \int_{\alpha_z(x)}^{\beta_z(x)} dy = \int_0^{1-z/2} x(1 - z/2 - x) dx = \frac{1}{6} \left(1 - \frac{z}{2}\right)^3.$$

In definitiva

$$\int_T \frac{z}{1+z} dx dy dz = \frac{1}{6} \int_0^2 \frac{z(1 - z/2)^3}{1+z} dz = \dots$$

Un altro modo di procedere è il seguente. Guardiamo il tetraedro come un cono su una faccia e lasciamo alla formula di cambiamento di variabili i dettagli. La mappa  $\varphi(t, a, b) : \mathbb{R}^3 \rightarrow \mathbb{R}^3$  data da

$$\begin{cases} x = ta + (1-t)0, \\ y = tb + (1-t)2, \\ z = t \cdot 0 + (1-t)2 \end{cases}$$

mappa il prisma  $T_0 \times [0, 1]$  sul tetraedro di base  $T_0$  individuata dai vertici  $(0, 0, 0)$ ,  $(1, 0, 0)$ ,  $(0, 1, 0)$  e vertice  $(0, 2, 2)$ .  $\varphi$  è bigettiva da  $T_0 \times ]0, 1]$  su  $T \setminus \{(0, 2, 2)\}$  con  $\det \mathbf{D}\varphi(t, a, b) = -2t^2$ . Perciò dalla formula di cambiamento di variabili,

$$\begin{aligned} \int_T \frac{xz}{1+z} dx dy dz &= \int_{T_0 \times [0,1]} \frac{2ta(1-t)}{1+2(1-t)} 2t^2 da db dt = \int_0^1 \frac{4t^3(1-t)}{3-2t} \iint_{T_0} a da db \\ &= \int_0^1 \frac{4t^3(1-t)}{3-2t} \int_0^1 a \left( \int_0^{1-a} db \right) da = \frac{2}{3} \int_0^1 \frac{t^3(1-t)}{3-2t} dt = \dots \end{aligned}$$

## 22.e Esercizi

**22.18 Esercizio.** Sia  $A = \{(x, y) \in \mathbb{R}^2 \mid x^2 < y < 1\}$ , e  $C(A)$  il cono di base  $A$  e vertice  $(0, 0, 1)$ . Calcolare il volume di  $C \setminus B((0, 0, 1), 1/2)$ .

**22.19 Esercizio.** Calcolare  $\int_D \frac{e^{-xy}}{y} dx dy$  dove  $D := \{(x, y) \in \mathbb{R}^2 \mid x \geq 0, x^2 \leq y, 0 \leq y \leq 2\}$ .

**22.20 Esercizio.** Sia  $\mathbf{A}$  una matrice  $n \times n$  simmetrica definita positiva. Allora

$$\int_{\mathbb{R}^n} \exp(-\mathbf{A}x \bullet x) dx = \sqrt{\frac{\pi^n}{\det \mathbf{A}}}.$$